



## کنترل جریان توسط دمش و مکش توأم بر روی ایرفویل کلارک-وای

احمدعلی ربيع نتاج درزی<sup>۱\*</sup>، سامان ودودی مفید<sup>۲</sup>

۱- استادیار، مهندسی مکانیک، دانشگاه مازندران، بابلسر

۲- دانشجوی کارشناسی ارشد، مهندسی مکانیک، موسسه پردیسان، فریدونکنار

\*بابلسر، صندوق پستی ۴۱۶ a.rabienataj@umz.ac.ir

### چکیده

در این تحقیق به بررسی عددی تأثیر دمش و مکش توأم و دمای دمش بر روی عملکرد ایرفویل در جریان تراکم پذیر پرداخته می‌شود. دمش و مکش توأم روشی برای افزایش نسبت ضربی برآ به پسا و زاویه واماندگی است که با دمش هوا بر روی ایرفویل از ابتدای آن و مکش آن از انتهای ایرفویل عمل می‌کند. عدد ماخ جریان‌های مورد بررسی بین ۰.۶ تا ۰.۰۴ می‌باشدند. در این تحقیق، ایرفویل کلارک-وای که ایرفویلی مینا برای طراحی ایرفویل‌های جدید می‌باشد، انتخاب شده است. برای تأیید روش حل مسئله، نتایج بدست آمده از این حل عددی با نتایج آزمایشگاهی موجود مقایسه شده است. نتایج نشان می‌دهد که درصد بهبود عملکرد این سیستم در جریان تراکم پذیر کمتر از مقدار آن در جریان تراکم ناپذیر است. با افزایش ضربی مومنت جت، ضربی پسا کاهش و ضربی برآ افزایش می‌یابد. استفاده از دمش و مکش در جریان تراکم پذیر باعث افزایش زاویه واماندگی می‌شود. بیشینه ضربی کاهش ضربی پسا و افزایش ضربی برآ در محدوده زاویه واماندگی اتفاق می‌افتد و با افزایش دما در محدوده‌ای خاص از زاویه و سرعت، عملکرد ایرفویل مقدار اندکی افزایش می‌یابد، اما با توجه به سهولت در انجام نسبت به افزایش ضربی مومنت جت، سیار مفید است.

### اطلاعات مقاله

مقاله پژوهشی کامل

دریافت: ۰۷ ابان ۱۳۹۵

پذیرش: ۱۰ آذر ۱۳۹۵

ارائه در سایت: ۱۸ بهمن ۱۳۹۵

کلید واژگان:

ایرفویل

ضریب برآ

ضریب پسا

واماندگی

جریان تراکم پذیر

## Flow control via co-flow jet over Clark-Y airfoil

AhmadAli Rabienataj Darzi<sup>1\*</sup>, Saman Vadudi Mofid<sup>2</sup>

۱- Department of Mechanical Engineering, University of Mazandaran, Babolsar, Iran

۲- Department of Mechanical Engineering, Pardisan Institute of Higher Education, Fridonkenar, Iran

\* P.O.B. 416 Babolsar, Iran, a.rabienataj@umz.ac.ir

### ARTICLE INFORMATION

Original Research Paper  
Received 28 October 2016  
Accepted 30 November 2016  
Available Online 06 February 2017

**Keywords:**  
Airfoil  
lift Coefficient  
drag coefficient  
stall  
compressible flow

### ABSTRACT

In this study, the effects of Co-flow jet and injection temperature on the enhancement of airfoil performance in the compressible flow is investigated numerically. Co-flow jet is a method of increasing lift to drag ratio and varying the Stall Degree which works via injecting the air from the edge of airfoil and suction from the tail. The Mach number of studied flow changes from 0.4 to 0.6. Clark-Y airfoil has been chosen for this study because of its application in compressible flow, it is the base airfoil for development of new airfoils. A validation is performed for Clark-Y airfoil by comparing the present numerical result and available experimental data in the literature. Results indicate that the enhancement induced by the Co-flow jet on the compressible flow is less than one in the incompressible flow. The drag and lift coefficients reduce and increase by increasing the jet momentum coefficient, respectively. By using the Co-flow jet the stall degree is increased. The maximum of lift decrement and drag increment occurs around the stall degree. Increasing the temperature increases lift coefficient slightly where it seems to be a better choice in comparison with increment of jet momentum coefficient due to ease of operation.

علت گرانروی از دست داده‌اند، توانایی حفظ مسیر جریان را ندارند و تغییر مسیر می‌دهند که این امر باعث از بین رفن لایه‌ی مرزی می‌شود. این پدیده همراه خود گردابه‌های بزرگ، افزایش نیروی پسا و کاهش نیروی برآ را همراه خواهد داشت. که به آن واماندگی می‌گویند. این اتفاق باعث از کنترل خارج شدن هوایپما و احتمالاً موجب سقوط آن خواهد شد. دستگاه‌های کنترل جریان باعث افزایش ضخامت لایه‌ی مرزی و مومنتم ذرات سیال در آن ناحیه شده که برای جدا شدن از سطح ایرفویل احتیاج به مقدار بسیار زیادی اختلاف فشار خواهند داشت [2]. اولین بار ژا به همراه همکارانش [3] ایده‌ی دمش و مکش توأم را برای

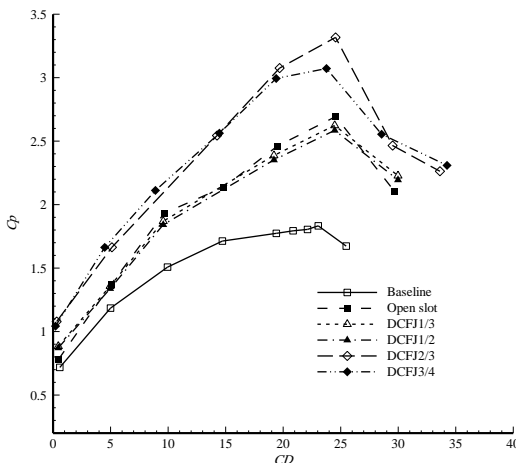
کنترل فعال جریان به عنوان راهی برای افزایش محدودیت‌های عملکرد بال‌های هوایپماهای مرسوم شناخته می‌شود. با کنترل جریان روی ایرفویل، زاویه واماندگی و مقدار بیشینه ضربی برآ افزایش می‌یابد. نتیجه‌ی آن بهبود برخاستن هوایپما از زمین و فرود آن و یا امکان کاهش ابعاد بال هوایپما خواهد بود [1].

عامل اصلی افزایش نیروی برآ کاهش فشار روی ایرفویل می‌باشد. با کاهش فشار روی ایرفویل (بسته به زاویه‌ی حمله، سرعت جریان، شکل ایرفویل) در فشاری خاص ذرات سیال در لایه‌ی مرزی که مومنتم خود را به

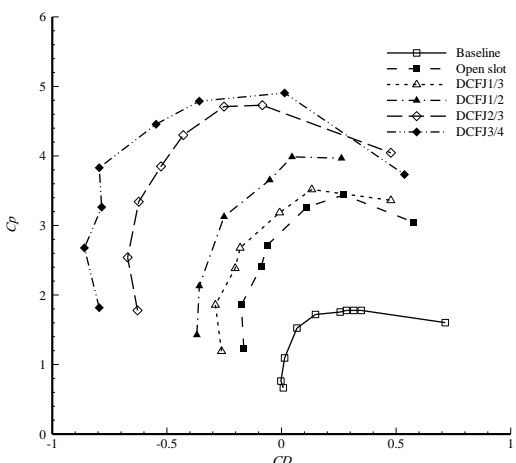
### Please cite this article using:

A. A. Rabienataj Darzi, S. Vadudi Mofid, Flow control via co-flow jet over Clark-Y airfoil, *Modares Mechanical Engineering*, Vol. 17, No. 2, pp. 147-156, 2017 (in Persian)

برای ارجاع به این مقاله از عبارت ذیل استفاده نمایید:



شکل 2 ضریب برآ- حالت‌های مختلف مسدودیت شکاف در دبی جرمی ثابت [5]



شکل 3 ضریب برآ- حالت‌های مختلف مسدودیت شکاف در دبی جرمی ثابت [6]

تؤام مورد بررسی قرار داد و آنها را با نتایج مکش و دمش جداگانه به طور تجربی مقایسه کرد. نتایج این آزمایش در شکل 4 به نمایش گذاشته شده است. به طور کلی نمودار ضریب فشار دمش یا مکش به طور مجزا بالاتر از نمودار ایرفویل مینا قرار دارد، اما هر دو کاملاً زیر خط دمش و مکش تؤام هستند. این نمودار نشان می‌دهد که دمش و مکش تؤام در تمام شرایط از هر دو حالت، خواص آیرودینامیکی بهتری نشان می‌دهند. البته این نکته قابل چشم پوشی نیست که در زاویه‌های حمله پایین مکش جداگانه به تنهایی وضعیت را از حالت مینا بدتر کرده است و علت آن این است که در زاویه‌های حمله‌ی پایین جریان کاملاً به سطح ایرفویل چسبیده است و هرگونه دستکاری در جریان می‌تواند این روند را از بین برده و گرادیان فشار شدید ایجاد کند.

اگویر به همراه همکارانش در مقاله‌ای [8] به مدل‌سازی هوایپیمایی بهمراه دمش و مکش تؤام پرداختند. آنها نشان دادند که مقدار بیشینه نیروی برآ و زاویه‌ی وامندگی بالا بوده همچنین راندمان سیستم بسیار بیشتر از سیستم‌های قدیمی موتور هوایپیمایها می‌باشد. در شکل 5 مقایسه‌ای بین حالت مینا و دمش و مکش تؤام از ایرفویل NACA 6425 به نمایش درآمده است. همان‌طور که مشاهده می‌شود گردابی تشکیل شده روی ایرفویل با استفاده از دمش و مکش تؤام کاملاً از بین برفته است.

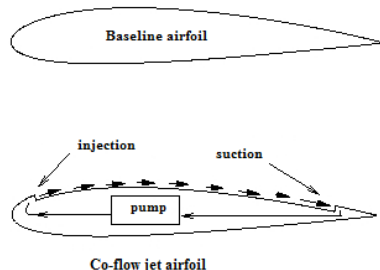
بهبود عملکرد ایرفویل را معرفی کردند. مصرف انرژی دمش و مکش تؤام نسبت به سایر روش‌های کنترل جریان فعال<sup>1</sup> کمتر است و می‌تواند پایه‌ی هوایپیمایی باشد که از دمش و مکش از انتهای آن کنترل می‌شود.

مقدار اندکی از دبی جرمی توسط شکاف مکش گرفته شده و فشار آن به وسیله‌ی سیستم پمپاژ بالا رفته و سپس از شکاف دمش موازی با سطح ایرفویل به جریان اصلی تزریق می‌شود. در طول این پروسه دبی جرمی هیچ تغییری نمی‌کند و شار جرمی صفر است و مصرف انرژی به حداقل می‌رسد. در این روش، دمش در ابتدای ایرفویل یعنی جایی که کمترین فشار روی سطح ایرفویل است قرار دارد و مکش در انتهای ایرفویل جایی که بیشترین فشار وجود دارد. قدرت پمپ دمش و مکش تؤام، پایین‌تر از حالاتی است که دمش یا مکش تنها وجود دارد [4].

کاهش نیروی پسا به وسیله دمش و مکش تؤام به دو حالت توجیه کرد. حالت اول، به علت گردش جریان زیاد، مکش جریان هوا در ابتدای ایرفویل آنقدر قدرتمند می‌شود که فشار کم در ابتدای ایرفویل باعث ایجاد نیروی محرکه می‌شود. حالت دوم: جریان اصلی که انرژی گرفته است جدایش و کمبود سرعت را جبران می‌کند. دمش و مکش تؤام از محدود روش‌های کنترل جریان است که همزمان نیروی برآ و نیروی محرکه (معکوس پسا) تولید می‌کند [5].

شکل 2 نمودار ضریب برآ نسبت به زاویه‌ی حمله است که در آن ایرفویل مبنی با ایرفویل دارای دمش و مکش تؤام که در ابتدای شکاف‌هایی با اندازه‌های مختلف هستند، بررسی شده است. در واقع این ایرفویل‌ها دارای دبی جرمی ثابت می‌باشند و در هر ایرفویل ضریب از سطح شکاف مسدود شده است به طوری که نام DCFJ 1/2 به معنی این است که نیمی از سطح شکاف مسدود شده اما دبی جرمی تمام حالات برابر است. همان‌طور که در شکل مشاهده می‌شود سطح کاملاً باز از دمش و مکش ۵۰٪ مقدار بیشینه ضریب برآ را افزایش می‌دهند در صورتی که در حالت 2/3 مسدود شده این مقدار به ۱۰۰٪ افزایش تعییر پیدا می‌کند. از خواص منحصر به فرد دمش و مکش تؤام، توانایی اعمال نیروی محرکه زیادی همراه با تولید نیروی برآ به علت افزایش مونتم در جهت جریان اصلی است. شکل 3 نشان می‌دهد که تمام ایرفویل‌ها در آزمایش تونل باد نیروی محرکه (پسای منفی) تولید کرده‌اند که بیشینه‌ی آن در ضریب مسدودیت 3/4 اتفاق می‌افتد [6,5].

جنگ در مقاله‌ای [7] ایرفویل کلارک-وای<sup>2</sup> را همراه با دمش و مکش



شکل 1 طرح روش کار سیستم دمش و مکش تؤام

<sup>1</sup> Active flow control method

<sup>2</sup> Clark Y

$$= \frac{\partial}{\partial x_j} \left[ \bar{u}_i (\bar{\tau}_{ij} - \bar{\rho} \bar{u}_i' \bar{u}_j') - \bar{\rho} \bar{u}_i' \bar{h}' + \bar{\tau}_{ji} \bar{u}_i' - \bar{\rho} \bar{u}_j' \frac{1}{2} \bar{u}_i' \bar{u}_i' \right] \quad (3)$$

که در آن  $\rho$  چگالی،  $u$  سرعت،  $P$  فشار،  $h$  آنتالی،  $e$  انرژی داخلی مخصوص،  $\tau$  تنفسی می باشد. لازم بذکر است که برای مدل سازی اختشاش از روش کی-امگا استفاده شده است و دو معادله مدل اختشاشی انتقال تنفسی یکی برای "کی" و دیگری برای "امگا" نیز به معادلات جریان اضافه می شوند [9].

لزجت سیال بر اساس قانون ساترلنند تغییر می کند. همچنین برای کوپلینگ جملات سرعت و فشار از روش سیمپل سی<sup>۱</sup> استفاده شده است.

## 2- دامنه محاسبات و شرایط مرزی

شکل 6- الف دامنه محاسبات برای این تحقیق را نشان می دهد. نمایهای نزدیکتر در از ایرفویل در شکل 6- ب به نمایش درآمده است. وتر ایرفویل 200 میلی متر است. محدوده محاسبات با 451550 شبکه به استقلال حل مسئله از تعداد شبکه رسیده است. نمونه ای از توزیع عدد بی بعد وای-پلاس<sup>۲</sup> در شکل 7 نشان داده شده است. این عدد در طول ایرفویل حدود 0.8 است که این مقدار برای تشخیص جدایش از سطح ایرفویل مناسب می باشد. عدد ماخ جریان از 0.6 تا 0.4 و دمای آن 255 درجه کلوین انتخاب شده است. زاویه حمله از 0 تا 30 درجه تغییر می کند.

ضریب مومنت برای دمش و مکش توأم به صورت رابطه (4) تعریف می شود:

$$Cm = \frac{\dot{m}_j V_j}{0.5 \rho_{\infty} V_{\infty}^2 S} \quad (4)$$

در رابطه (4)  $Cm$  ضریب مومنت جت،  $\dot{m}_j$  دمی جرمی جت،  $V_j$  سرعت جت هوا،  $\rho_{\infty}$  چگالی هوا،  $V_{\infty}$  سرعت جریان اصلی و  $S$  سطح تصویر شده ری ایرفویل است. مقادیر انتخاب شده ضریب مومنت جت برای این تحقیق 1.1 و 2.1 می باشند.

دمای خروجی جت هوا، سه دمای مختلف می باشد که در حالت عادی دمای هوای محیط است که به مقدار 55 و 110 درجه کلوین افزایش خواهد داشت.

## 3- اعتبار سنجی

برای اعتبار سنجی این تحقیق، نتایج آزمایش دو مقاله مختلف با روش حل عددی این مسئله مقایسه شده اند. در آزمایش اول [7] ایرفویل کلارک-وای در جریانی تراکم ناپذیر مورد آزمایش قرار گرفته و نتایج بدست آمده در این مقاله به صورت ضریب فشار ارائه شده است. شکل 8 ضریب فشار در طول سطح ایرفویل به صورت آزمایشی و حل عددی به روش حل این مسئله ارائه شده است.

مقایسه بعده، آزمایش بر روی یک NACA0012 در جریان تراکم پذیر است. شکل 9 ضریب فشار را برای عدد ماخ 0.719 و زاویه حمله 3 درجه، در طول ایرفویل نشان می دهد. همان طور که مشاهده می شود نتایج حاصل از حل عددی برای محدوده تراکم پذیر نیز تطابق خوبی با نتایج آزمایشگاهی دارد.

## 4- نتایج

هدف اصلی این مقاله بررسی تغییرات ضریب برآ و پسا و همچنین زاویه می

<sup>1</sup> SIMPLEC  
<sup>2</sup> Y+

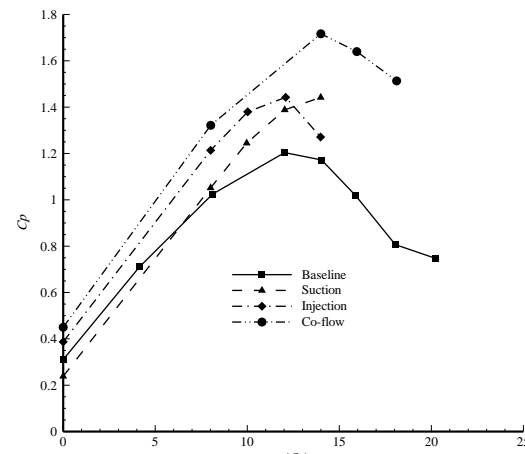


Fig. 4 Co-flow jet versus injection and suction independently [7]

شکل 4 مقایسه دمش و مکش به صورت توأم و مجزا [7]

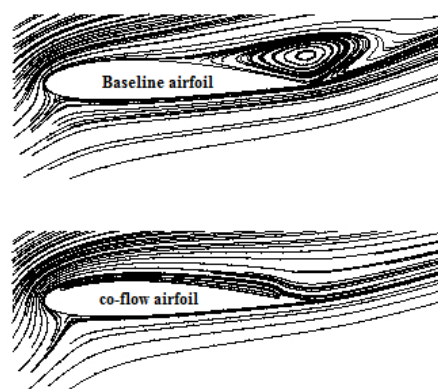


Fig. 5 Adjustment of vortex via Co-flow jet [8]

شکل 5 اصلاح جدایش توسط دمش و مکش توأم [8]

تحقیقات گذشته در حالت تراکم ناپذیر صورت پذیرفته اند. در این مقاله تأثیر دمش و مکش توأم در جریان تراکم پذیر بررسی می شود و همچنین تأثیر افزایش دمای هوای دمش بر ایرفویل نیز بررسی می گردد. ایرفویل کلارک-وای به عنوان اینکه مبنای برای طراحی ایرفویل ها می باشد به عنوان ایرفویل مورد نظر در این تحقیق انتخاب شده است.

## 2- حل عددی

### 2-1- معادلات حاکم

در این تحقیق میدان جریان لزج، تراکم پذیر و مشوش می باشد. معادلات حاکم عبارتند از معادله پیوستگی، معادله مومنت و معادله انرژی که در مختصات دو بعدی نوشته شده اند.

معادله پیوستگی:

$$\frac{\partial \bar{\rho}}{\partial t} + \frac{\partial}{\partial x_i} (\bar{\rho} u_i) = 0 \quad (1)$$

معادله مومنت:

$$\frac{\partial}{\partial t} (\bar{\rho} \bar{u}_i) + \frac{\partial}{\partial x_j} (\bar{\rho} \bar{u}_i \bar{u}_j) = - \frac{\partial \bar{P}}{\partial x_i} + \frac{\partial \bar{\tau}_{ij}}{\partial x_j} - \frac{\partial}{\partial x_j} (\bar{\rho} \bar{u}_i' \bar{u}_j') \quad (2)$$

معادله انرژی:

$$\begin{aligned} \frac{\partial}{\partial t} \left[ \bar{\rho} \left( \bar{e} + \frac{\bar{u}_i \bar{u}_j}{2} \right) + \frac{1}{2} \bar{\rho} \bar{u}_i' \bar{u}_j' \right] \\ + \frac{\partial}{\partial x_j} \left[ \bar{\rho} \bar{u}_j \left( \bar{h} + \frac{\bar{u}_i \bar{u}_j}{2} \right) + \frac{1}{2} \bar{u}_j' \bar{\rho} \bar{u}_i' \bar{u}_j' \right] \end{aligned}$$

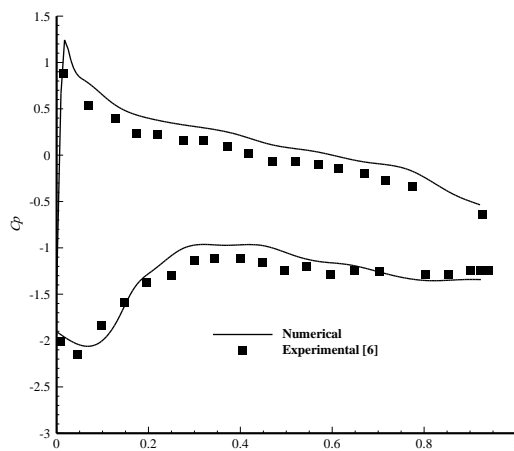
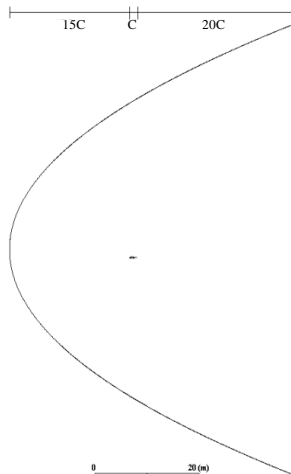


Fig. 8 Comparison of numerical and experimental results [7] for Clark Y airfoil

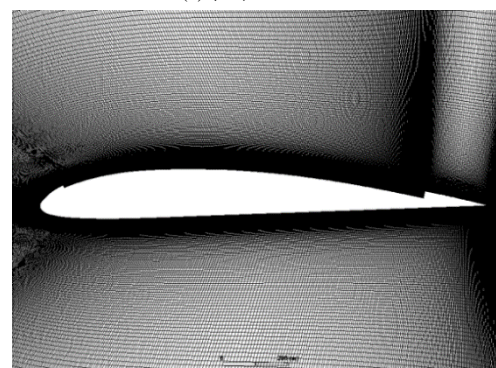
شکل 8 مقایسه نتایج عددی و آزمایشگاهی [7] برای ایرفویل کلارک-وای

ایرفویل در سرعتی خاص، زاویه‌ای وجود دارد که با رسیدن به آن زاویه افزایش زاویه حمله باعث کاهش ضریب برآ و افزایش ضریب پسا خواهد بود، به این حالت واماندگی و این زاویه، زاویه واماندگی می‌گویند. علت اصلی به وجود آمدن زاویه واماندگی گسترش گردابه‌های روی ایرفویل هستند. شکل 10 شروع گسترش گردابه بر روی ایرفویل کلارک-وای در جریان با ماخ 0.6 و زاویه حمله 10 درجه را نشان می‌دهد.

در شکل 11 نمودار ضریب برآ نسبت به زاویه حمله برای جریان با



(الف)



(ب)

Fig. 6 a) Computational domain b) Close view of grids

شکل 6

الف) محدوده محاسبات ب) شبکه بندی در نزدیکی ایرفویل

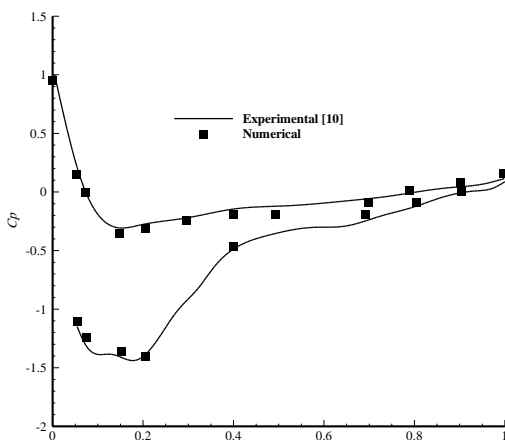


Fig. 9 Comparison of numerical and experimental results [10] in compressible flow

شکل 9 مقایسه نتایج عددی و آزمایشگاهی [10] در جریان تراکم‌پذیر

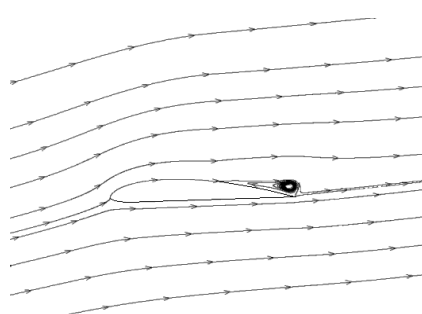


Fig. 10 Streamlines for flow with  $M=0.6$  at  $AOA=10$

شکل 10 خط جریان در ماخ 0.6 و زاویه 10 درجه

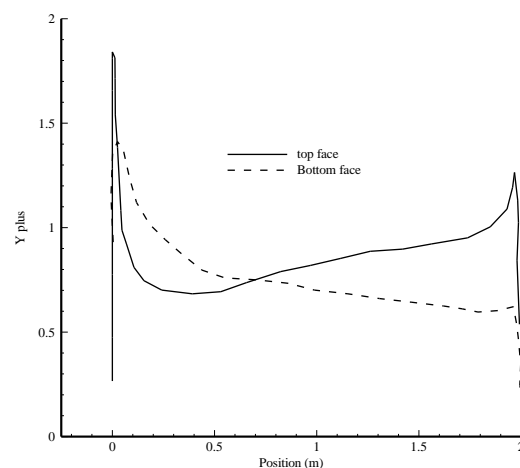


Fig. 7 Typical  $Y^+$  on airfoil body

شکل 7 نمونه توزیع مقدار "وای-پلاس" روی ایرفویل [6]

واماندگی با تغییرات دما در جریان با ماخهای بالای 0.3 می‌باشد. برای این کار ابتدا تأثیر دمشن و مکش توأم بر ایرفویل مبنای بررسی و سپس با دماهای مختلف مقایسه می‌گردد.

#### ۴- ضریب برآ و واماندگی

افزایش زاویه حمله، افزایش نیروی برآ به همراه خواهد داشت اما برای هر

شکل 13 نمودار ضریب مومنتم جت نسبت به ضریب برآ را نشان می‌دهد. در زاویه‌ی حمله‌ی صفر درجه مقدار بیشینه‌ی ضریب برآ از بازه‌ی مورد بررسی خارج بوده، اما با افزایش زاویه‌ی حمله به 15 درجه این مقدار در ضریب مومنتم جت کمتری اتفاق می‌افتد و به نزدیکی 1.25 می‌رسد و با افزایش زاویه‌ی حمله به 20 درجه باز هم مقدار بیشینه‌ی ضریب برآ در ضریب مومنتم جت کمتری یعنی حدود 1.15 رخ می‌دهد.

افزایش ضریب برآ در زاویه‌های حمله کم که جدایش اتفاق نیفتاده است، بسیار اندک است. شکل 14 نمودار ضریب برآ نسبت به ضریب مومنتم جت را برای عدد ماخ 0.4 به نمایش می‌گذارد. همان‌طور که مشاهده می‌شود، با ضریب مومنتم 1، ضریب برآ تا 14% افزایش یافته و زاویه‌ی واماندگی نیز تا حدود 3 درجه افزایش می‌یابد. با افزایش ضریب مومنتم به 1.1 و 1.2 درصد افزایش ضریب برآ به ترتیب 17 و 16 می‌شوند.

با استفاده از دمش و مکش در جریان با ماخ 0.5 با ضریب مومنتم 1، 1.1 و 1.2 ضریب برآ به ترتیب 13%， 18% و 21% و زاویه‌ی واماندگی بین 2 تا 5 درجه نسبت به حالت مبنا افزایش پیدا کرده است که بیشترین مقدار درمومنتم جت 1.2 اتفاق می‌افتد (شکل 15).

در شکل 16 تغییرات میدان سرعت ایرفویل را با سیستم دمش و مکش توأم و افزایش دمای دمای مشاهده می‌گردد. در مرحله‌ی اول با دمش و مکش توأم هوا بر روی ایرفویل تغییر سیار زیادی در میدان سرعت دارد. سپس با افزایش دما، تا حدودی انتقال انرژی از جت به جریان هوا بهبود یافته و سرعت روی ایرفویل افزایش می‌یابد.

شکل‌های 17 تا 19 تغییرات ضریب برآ با افزایش دمای دمش را برای جریان با عدد ماخ 0.4 نمایش می‌دهد. با افزایش دما به اندازه  $55^{\circ}\text{C}$  ضریب برآ افزایش می‌یابد که بیشینه‌ی آن برای جریان با  $C_m = 1$  است. این مقدار برای جریان با ماخ 1.1 و  $C_m = 1.2$  به ترتیب 3.9% و 3.5% می‌باشد. با افزایش دما به اندازه  $110^{\circ}\text{C}$  مقدار بیشینه‌ی افزایش ضریب برآ با ضریب مومنتم جت 1.2 و 1.1، به ترتیب به مقدار 7.1، 7.3، 7.5، 7.7 درصد افزایش می‌یابد.

شکل‌های 20 تا 22 تغییرات ضریب برآ را با دمای دمش در عدد ماخ 0.6 نمایش می‌دهد. همان‌طور که مشاهده می‌شود، این تغییرات با افزایش سرعت جریان و ضریب مومنتم جت کاهش چشمگیری داشته‌اند، به طوری که مقدار بیشینه‌ی ضریب برآ با افزایش  $55^{\circ}\text{C}$  برای ضریب مومنتم جت 1.1 و 1.2 به ترتیب 3%， 2% و 1% افزایش یافته است و با اعمال اختلاف

ماخ‌های مختلف مشاهده می‌گردد. زاویه‌ی واماندگی برای ماخ‌های 0.4، 0.5 و 0.6 به ترتیب 12.5، 15، و 16 درجه و مقدار بیشینه‌ی ضریب برآ 0.8، 1.75 و 2.4 می‌باشد.

دمش و مکش توأم با از بین بردن گردابه باعث افزایش نیروی برآ و به تأخیر اندختن واماندگی می‌شود. شکل 12 تأثیر دمش و مکش توأم را در جریان با ماخ 0.6 و زاویه‌ی 10 درجه و استفاده از دمش و مکش توأم با ضریب مومنتم 1 را نشان می‌دهد.

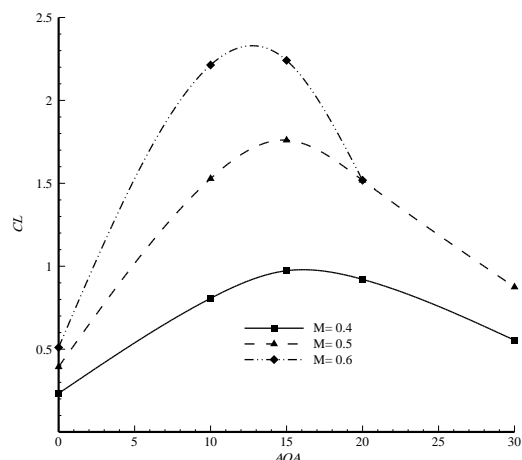
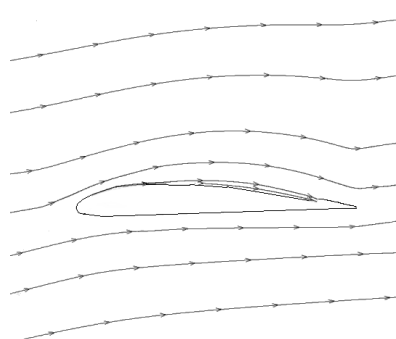
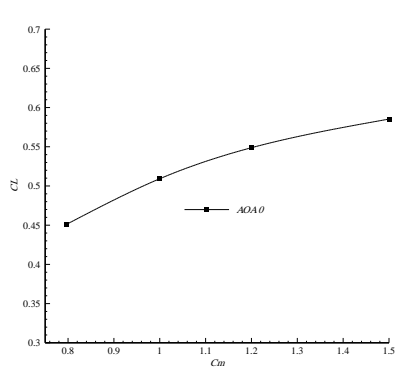
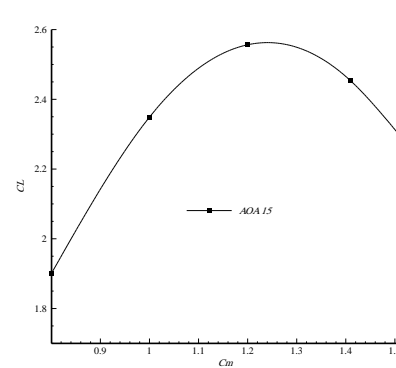
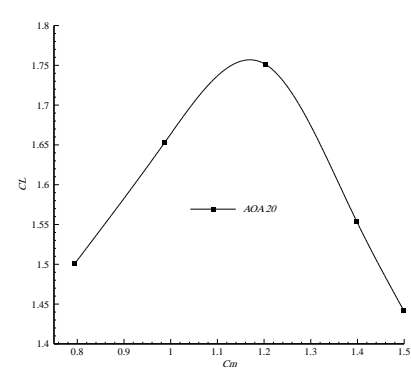


Fig. 11 CL versus AOA for different Mach numbers

شکل 11 ضریب برآ نسبت به زاویه‌ی حمله در ماخ‌های مختلف

Fig. 12 Co-flow jet effect on  $M=0.6$  and  $AOA=10$ 

شکل 12 اثر دمش و مکش توأم بر جریان با ماخ 0.6 و زاویه‌ی 10 درجه

Fig. 13 CL versus  $C_m$  for  $M=0.6$  and a)  $AOA=0$  b)  $AOA=15$  c)  $AOA=20$ 

(الف)

شکل 13 تغییرات ضریب برآ نسبت به ضریب مومنتم جت در ماخ 0.6 (الف)، زاویه‌ی حمله‌ی 0 درجه (ب)، زاویه‌ی حمله‌ی 15 درجه (ج)، زاویه‌ی حمله‌ی 20 درجه

همچنین افزایش محدوده پرواز، بالا بردن ظرفیت تراویری و در کنار افزایش زاویه حمله، امنیت پرواز را بالا می برد اما ضریب پسا نیز بسیار مهم است. این ضریب ارتباط مستقیم با مصرف سوخت هواپیما دارد. بنابراین با کاهش ضریب پسا صرفه جویی در مصرف سوخت، کاهش هزینه سفر با هواپیما و افزایش زمان پرواز بدست خواهد آمد.

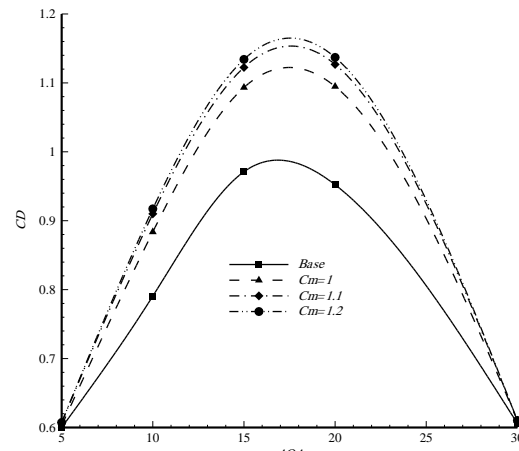
شکل 23 توزیع ضریب فشار برای جریان با ماخ 0.5 و زاویه حمله 20 درجه را برای ایرفویل مبنا نشان می دهد و شکل 24 همان شرایط را برای ایرفویل با دمش و مکش تؤام نشان می دهد. در حالاتی که ایرفویل با افق زاویه مثبت دارد کم شدن فشار در جلوی ایرفویل عامل اصلی نیروی محرکه می باشد.

نمودار شکل 25 ضریب پسا نسبت به زاویه حمله را برای جریان با ماخهای مختلف نشان می دهد. با افزایش زاویه حمله ضریب پسا افزایش می بادد برخلاف ضریب برآ مقدار بیشینه ای نداشته و همواره افزایش می باید. همچنین افزایش سرعت باعث افزایش ضریب پسا می شود.

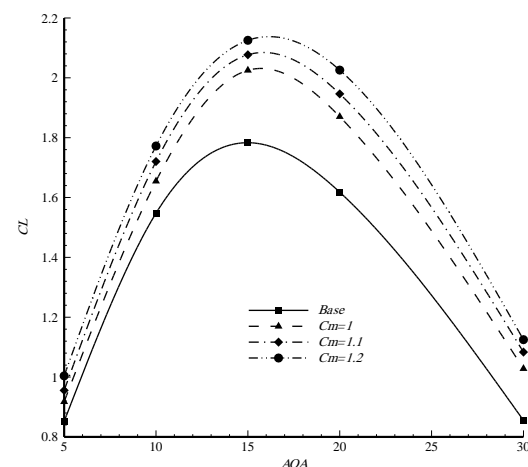
ضریب پسا برای ایرفویل مبنا در زاویه صفر درجه 0.01 می باشد. در شکل 26، مقدار آن با دمش و مکش تؤام  $Cm = 1$  به 0.04-0.04 می کند و اصطلاحا نیروی محرکه (نیروی پسای منفی) تولید می شود. همچنین در زاویه حمله 15 درجه نزدیک به 43% کاهش ضریب پسا مشاهده می گردد. این عدد برای  $Cm = 1.1$  و  $Cm = 1.2$  به ترتیب 49% و 55% می باشد. در نتیجه با ضریب مومنتم جت مقدار نیروی پسا کاهش (نیروی محرکه افزایش) چشمگیری دارد. همچنین با افزایش زاویه حمله نیروی پسا افزایش خواهد یافت که با عبور از زاویه افزایش زاویه حمله کاهش می باید.

در شکل 27 تغییر نیروی پسا به نیروی محرکه در زاویه صفر درجه در جریان با ماخ 0.5 نیز مشاهده می شود. ضریب پسا در زاویه صفر درجه از  $Cm = 1$  به  $-0.045$  با  $0.02$  تغییر پیدا کرده است. ضریب پسا با اعمال  $Cm = 1.1$  در زاویه 15 درجه به ترتیب  $39\%$ ،  $42\%$  و  $52\%$  کاهش پیدا کرده است.

در جریان با ماخ 0.6 تغییر از  $Cm = 1.1$  به  $Cm = 1.2$  تأثیر بیشتری نسبت به تغییر از  $Cm = 1$  به  $Cm = 1.1$  دارد (شکل 28). علت آن را می توان بالا بودن مومنتم ذرات سیال دانست که برای کنترل و افزایش انرژی آنها نیاز به بالا بودن ضریب مومنتم جت دارد. بیشترین درصد کاهش ضریب پسا با

Fig. 14 CL versus AOA for M=0.4 and different  $Cm$ 

شکل 14 ضریب برآ نسبت به زاویه حمله در ماخ 0.4 و ضریب مومنتم مختلف

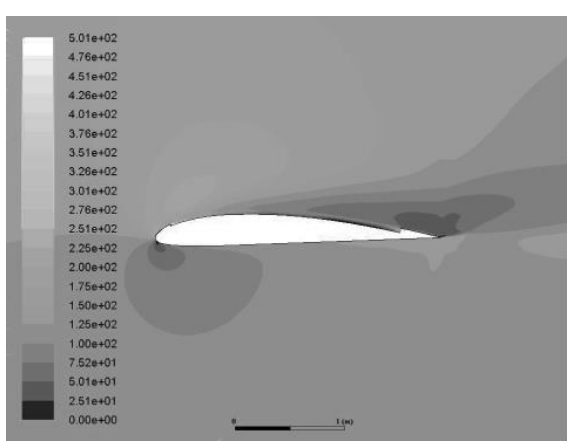
Fig. 15 CL versus AOA for M=0.5 and different  $Cm$ 

شکل 15 ضریب برآ نسبت به زاویه حمله در ماخ 0.5 و ضریب مومنتم مختلف

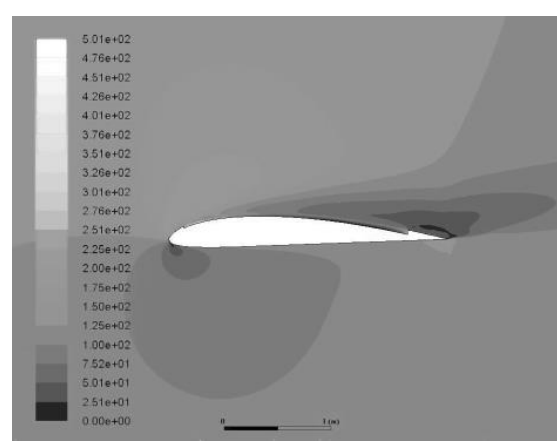
دماهی  $\hat{C}$  110 این اعداد به ترتیب به  $3.5\%$ ،  $5\%$  و  $1.5\%$  تغییر می باید.

#### 4-2- ضریب پسا

دلیل اهمیت ضریب پسا برآ کوتاه کردن مسافت به پرواز درآمدن هواپیما و



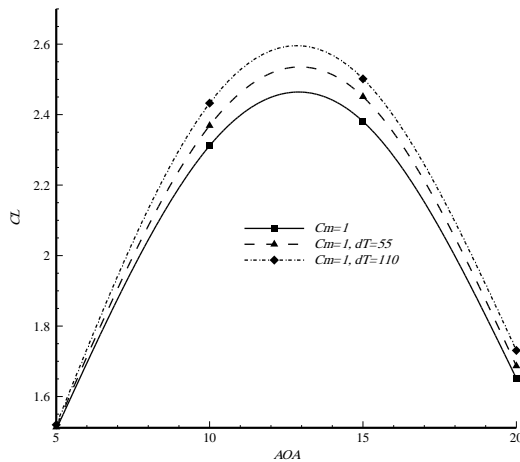
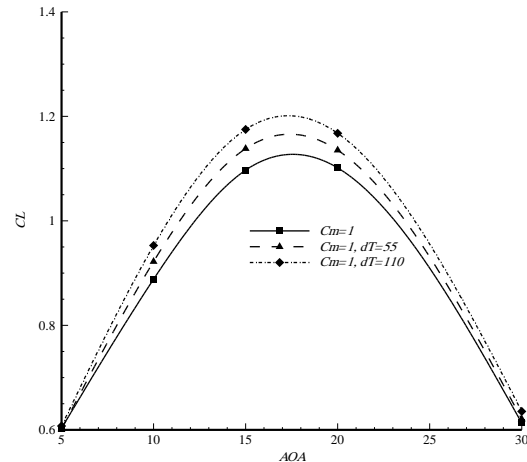
a) (الف)



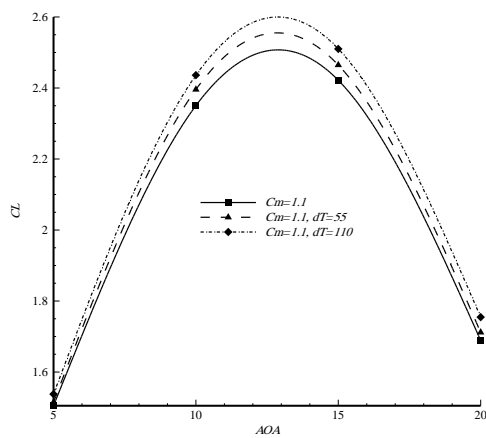
b) (ب)

Fig. 16 Velocity contour in M=0.4 for a) CFJ with  $Cm=1$ ,  $\Delta T = 0$  b) CFJ  $Cm=1$ ,  $\Delta T = 110^\circ\text{C}$ 

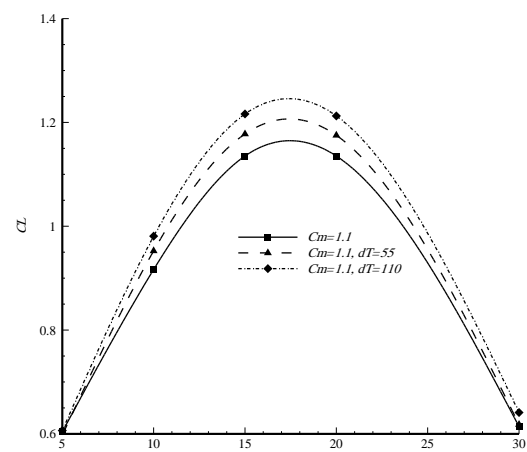
شکل 16 کانتور سرعت جریان در ماخ 0.4 برای (الف) دمش و مکش تؤام با ضریب مومنتم 1 و بدون افزایش دما (ب) دمش و مکش تؤام با ضریب مومنتم 1 و افزایش دما 110 درجه دمش

Fig. 20 Effect of temperature increment on  $CL$  for  $M=0.6$ Fig. 17 Effect of temperature increment on  $CL$  for  $M=0.4$ 

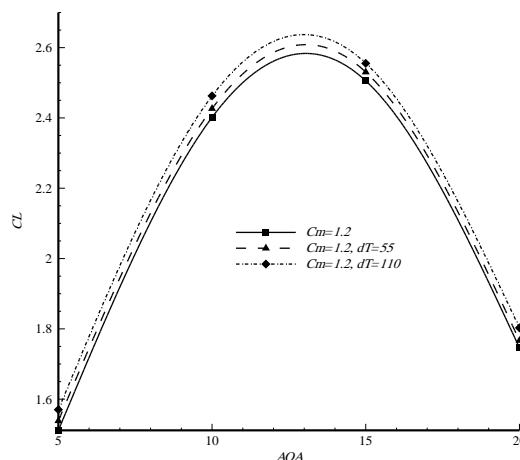
شکل 17 تأثیر افزایش دمای دمش بر ضریب برآ در ماخ 0.4

Fig. 21 Effect of temperature increment on  $CL$  for  $M=0.6$ 

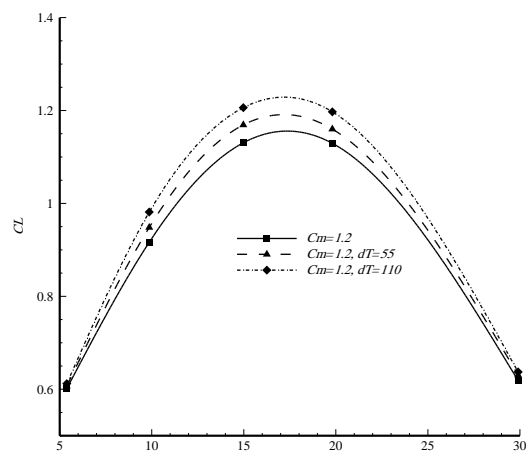
شکل 21 تأثیر افزایش دمای دمش بر ضریب برآ در ماخ 0.6

Fig. 18 Effect of temperature increment on  $CL$  for  $M=0.4$ 

شکل 18 تأثیر افزایش دمای دمش بر ضریب برآ در ماخ 0.4

Fig. 22 Effect of temperature increment on  $CL$  for  $M=0.6$ 

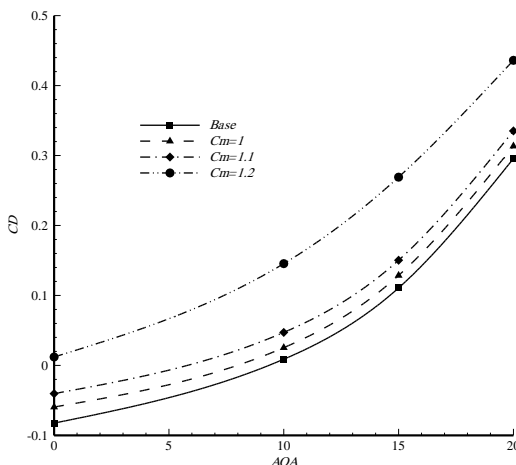
شکل 22 تأثیر افزایش دمای دمش بر ضریب برآ در ماخ 0.6

Fig. 19 Effect of temperature increment on  $CL$  for  $M=0.4$ 

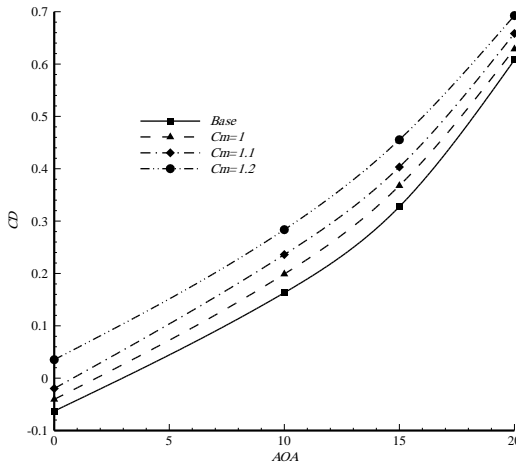
شکل 19 تأثیر افزایش دمای دمش بر ضریب برآ در ماخ 0.4

استفاده از دمش و مکش با  $Cm = 1$  و  $1.1$  به ترتیب برابر با  $17\%$  و  $30\%$  می‌باشد.

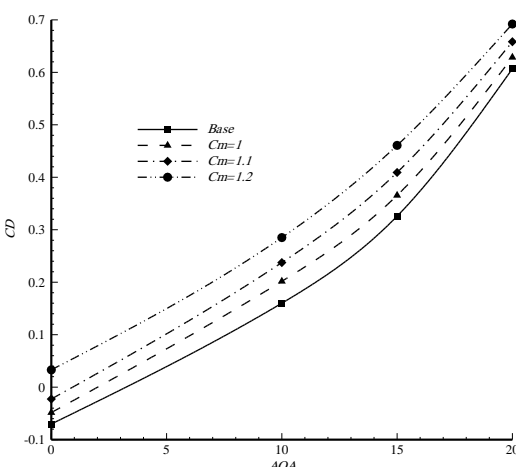
شکل‌های 29 تا 31 تأثیرات ضریب پسا با تغییر دمای دمش را نمایش می‌دهند. بیشترین تغییر اعمال شده افزایش ضریب پسا در زوایای حمله

Fig. 26 Effects of  $C_m$  on  $CD$  for  $M=0.4$ 

شکل 26 تأثیر ضریب مومنتم جت بر ضریب پسا در ماخ 0.4

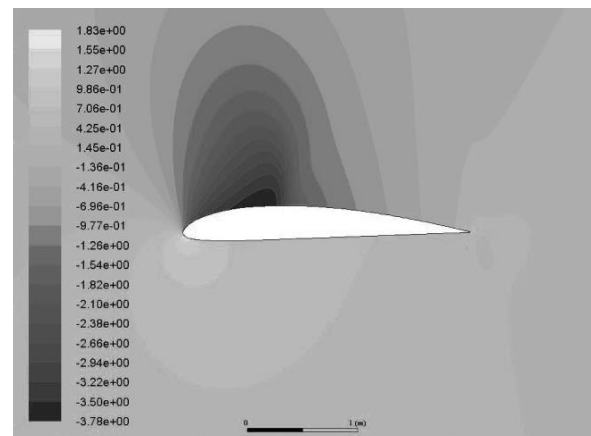
Fig. 27 Effects of  $C_m$  on  $CD$  for  $M=0.5$ 

شکل 27 تأثیر ضریب مومنتم جت بر ضریب پسا در ماخ 0.5

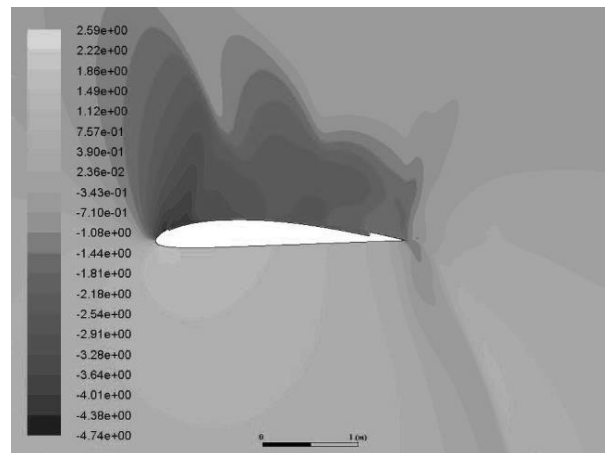
Fig. 28 Effects of  $C_m$  on  $CD$  for  $M=0.6$ 

شکل 28 تأثیر ضریب مومنتم جت بر ضریب پسا در ماخ 0.6

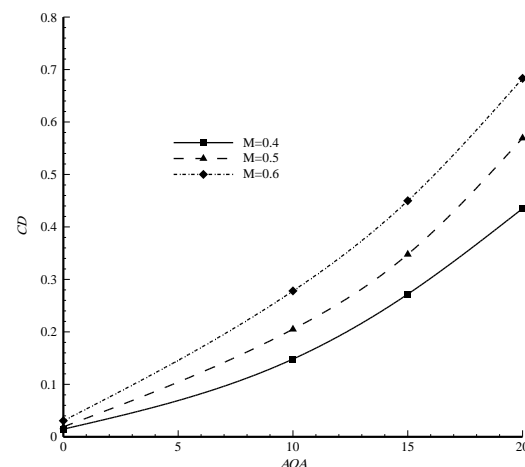
15 درجه، 1.25 و برای زاویه حمله 20 درجه، 1.15 است. بطور کلی می‌توان رابطه‌ی ضریب مومنتم جت، دمای دمش و ضریب برآ و پسا را به صورت زیر بیان نمود:

Fig. 23  $C_p$  contour for  $M=0.6 AOA=10$ , base airfoil

شکل 23 کانتور ضرب فشار در ماخ 0.6 و زاویه 10 ایرفویل مبنا

Fig. 24  $C_p$  contour for  $M=0.6 AOA=10$ , CFJ  $C_m=1.1$ 

شکل 24 کانتور ضرب فشار در ماخ 0.6 و زاویه 10 دمش و مکش ضرب مومنتم 1.1



شکل 25 ضریب پسا نسبت به زاویه حمله برای ماخهای مختلف

شکل 25 ضریب پسا نسبت به زاویه حمله برای ماخهای مختلف

## 5- نتیجه‌گیری

نتایج نشان می‌دهند که ضریب برآ و پسا را به کمک دمش و مکش تؤام بهبود می‌یابند بطوری که مقدار بیشینه‌ی برای ضریب مومنتم جت دمش و مکش وجود دارد که افزایش این ضریب بیشتر از مقدار تعیین شده باعث افت عملکرد سیستم می‌شود. این مقدار برای جریان با ماخ 0.6 در زاویه حمله

مومنت به ۱.۱، ۵% به این مقدار اضافه شده و به ۱۸% افزایش می‌یابد، اما با رسیدن به ضریب مومنت ۱.۲، تنها ۳% به این مقدار افزوده شده و ۲۱% افزایش خواهد داشت. در جریان با ماخ ۰.۶ بر عکس این پدیده رخ خواهد داد و افزایش ضریب مومنت جت تأثیر آن را بطور مداوم افزایش می‌دهد.

- با ثابت در نظر گرفتن ضریب مومنت جت، با افزایش سرعت جریان، تأثیر ضریب مومنت بر ضریب برآ کمتر خواهد شد. برای مثال در جریان با ماخ ۰.۴، ضریب مومنت جت ۱.۱، تأثیری نزدیک به ۱۴% افزایش ضریب برآ دارد اما همین ضریب مومنت در جریان با ماخ ۰.۶ به ۴.۵% کاهش می‌یابد.
- تأثیر دمش و مکش در زاویه‌های پایین و زاویه‌های بعد از واماندگی بسیار کم است. به طوری که مقدار بیشینه افزایش ضریب برآ برابر ۳ در جریان با ماخ ۰.۶ حدود ۱۰% است اما در زاویایی مذکور ۰.۳ می‌باشد. استفاده از دمش و مکش در جریان تراکم‌پذیر باعث افزایش زاویه‌ی واماندگی می‌شود. اما با افزایش سرعت جریان آن کمتر می‌شود. زاویه‌ی واماندگی در جریان با ماخ ۰.۴ حداقل ۳ درجه و در جریان با ماخ ۰.۶ کمتر از ۱ درجه افزایش خواهد داشت.
- افزایش دمای دمش باعث بهبود ضریب برآ می‌شود، اما تأثیر آن با بالا رفتن دمای دمش کاهش می‌یابد. افزایش سرعت جریان باعث کاهش تأثیر دمای دمش می‌شود، به طوری که در جریان با ماخ ۰.۴ افزایش ۱۱۰ درجه‌ی دمای با در ضریب مومنت جت ۱.۲ حدود ۷.۵% ضریب برآ را افزایش می‌دهد اما این مقدار برای جریان با ماخ ۰.۶ به ۵% کاهش می‌یابد.
- افزایش ضریب مومنت جت در دمش و مکش توأم باعث کاهش ضریب پسا می‌شود. در جریان با ماخ ۰.۴، ضریب مومنت جت ۱ باعث کاهش ۴۳ درصدی ضریب پسا می‌شود. تأثیر دمش و مکش بر روی ضریب پسا با افزایش سرعت جریان در ضریب مومنت ثابت کاهش می‌یابد. در جریان با ماخ ۰.۵ و ضریب مومنت ۱.۲، ضریب پسا ۵۲% بهبود می‌بخشد اما همین حالت برای جریان با ماخ ۰.۶ حدود ۴۵% است.
- بیشینه‌ی درصد کاهش ضریب پسا در محدوده‌ی زاویه‌ی واماندگی اتفاق می‌افتد به طوری با دورتر شدن هرچه بیشتر از این محدوده، درصد بهبود ضریب پسا کمتر می‌شود. بیشینه درصد بهبود ضریب پسا در جریان با ماخ ۰.۵ و ضریب مومنت ۱.۱ حدود ۴۲% است اما در زاویه‌ی ۲۰ درجه این مقدار به ۲۵% کاهش می‌یابد.
- افزایش دمای دمش باعث افزایش ضریب پسا می‌شود و افزایش بیشتر آن، تأثیر بیشتری خواهد داشت. افزایش ۵۵ درجه‌ای دمای دمش در جریان با ماخ ۰.۵ و ضریب مومنت جت ۱.۱، ضریب برآ را ۱۵% افزایش می‌دهد و با افزایش ۱۱۰ درجه دمای دمش به این مقدار ۱۷% افزوده و ضریب برآ ۳۲% افزایش می‌یابد. بیشترین تأثیر افزایش دمای زاویه حمله‌های پایین دیده می‌شود و با گذشتن از زاویه‌ی واماندگی درصد افزایش ضریب پسا نزدیک به صفر می‌شود.

## ۶- فهرست علایم

زاویه‌ی حمله	$AOA$
وتر ایرفویل (m)	C
ضریب پسا	$CD$
ضریب برآ	$CL$

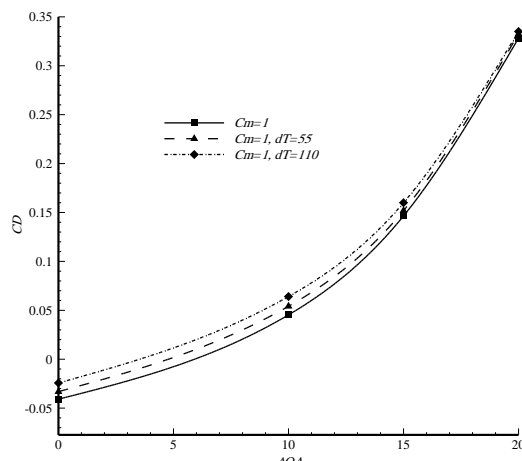


Fig. 29 تأثیر افزایش دمای دمش بر ضریب پسا در ماخ ۰.۴

شکل 29 تأثیر افزایش دمای دمش بر ضریب پسا در ماخ ۰.۴

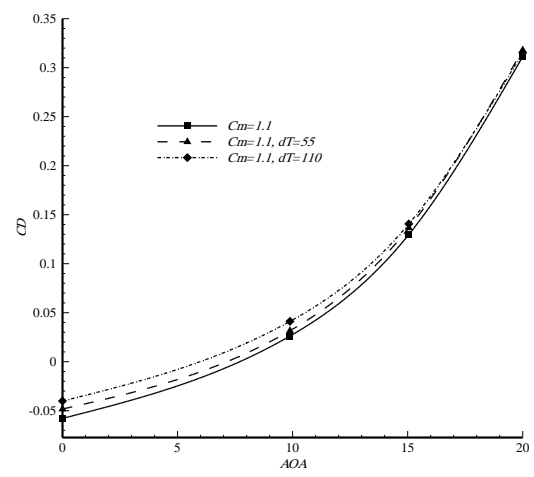


Fig. 30 تأثیر افزایش دمای دمش بر ضریب پسا در ماخ ۰.۴

شکل 30 تأثیر افزایش دمای دمش بر ضریب پسا در ماخ ۰.۴

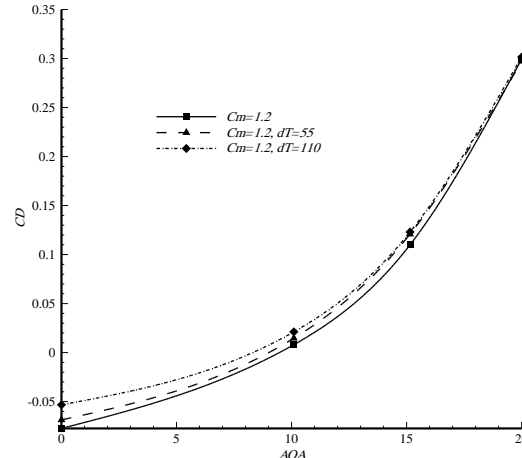


Fig. 31 تأثیر افزایش دمای دمش بر ضریب پسا در ماخ ۰.۴

شکل 31 تأثیر افزایش دمای دمش بر ضریب پسا در ماخ ۰.۴

- با افزایش ضریب مومنت جت، ضریب برآ افزایش می‌یابد. شدت این افزایش وابسته به عدد ماخ متغیر است. بعنوان مثال، مقدار بیشینه‌ی ضریب برآ در جریان با ماخ ۰.۵، با استفاده از دمش و مکش با ضریب مومنت جت ۱، ۱۳% افزایش پیدا خواهد کرد. با افزایش ضریب

- Revolutionary Air VehiCles, AIAA 2003-3785, 21st AIAA Applied Aerodynamics Conference, Orlando, Florida, June 23-26, 2003.
- [2] J. A. K. Ackroyd, B. P. Axcell and A. I. Ruban, *In Early Developments of Modern Aerodynamic*, pp. 77-91, Manchester: Butterworth-Heinemann, 2001.
- [3] G.-C. Zha and D. C. Paxton, A novel flow control method for airfoil performance enhancement using Co-Flow jet, *Applications of Circulation Control Technologies, Progress in Astronautics and Aeronautics*, Vol. 214, pp. 293-314, 2006.
- [4] G.-C. Zha, W. Gao, and C. Paxton, Jet effects on Co-Flow jet airfoil performance, *AIAA Journal*, Vol. 45, No. 6 pp. 1222-1231, 2007.
- [5] B. P. E. Dano, D. Kirk, G.-C. Zha, Experimental investigation of jet mixing mechanism of Co-Flow jet airfoil, *AIAA 2010, 5th Flow Control Conference*, Chicago, Illinois, 28 June-1 July, 2010.
- [6] B. P. E. Dano, G.-C. Zha, M. Castillo, Experimental study of Co-Flow jet airfoil performance enhancement using micro discreet jets, *AIAA 2011, 49th Aerospace Sciences Meeting*, Orlando, Florida, Jan 4-7, 2011.
- [7] T. L. Chng, A. Rachman, Ge-Cheng Zha, Flow control of an airfoil via injection and suction, *Journal of Aircraft*, Vol. 46, No. 1, pp. 2087-2090, 2009.
- [8] John Aguirre, B.Y. Wang, C. G. Zha, Conceptual design and study of engineless airplane using co-flow jet airfoil, *AIAA 2007, 25th AIAA Applied Aerodynamics Conference*, Miami, Florida, Jun 25-28, 2007.
- [9] F. R. Menter, Two-equation eddy-viscosity models for engineering applications, *AIAA Journal*, Vol. 32, No. 8, pp. 1598-1605, 1994.
- [10] Y. Yamaguchi, K. Kaibara, T. Saito, Application of wall interference corrections to a low aspect ratio airfoil model, *35th Aerospace Sciences Meeting and Exhibit, Aerospace Sciences Meetings*, Reno, Nevada, Jan 17-21, 1997.

ضریب مومنتم جت	$C_m$
ضریب فشار	$C_p$
اختلاف دمای هوای دمش و محیط (K)	$dT$
عدد ماخ	M
(kg.m <sup>-1</sup> s <sup>-2</sup> )	P
عدد پرانتل	Pr
عدد رینولدز	Re
(K) دما	T
(ms <sup>-1</sup> ) سرعت (V <sub>j</sub> )	
علایم یونانی	
لزجت دینامیکی	$\mu$
(kg.m <sup>-1</sup> s <sup>-1</sup> )	
چگالی	$\rho$
(kg.m <sup>-3</sup> )	
تنش برشی (kg.m <sup>-1</sup> s <sup>-2</sup> )	$\tau$

## 7- مراجع

- [1] W. L. Sellers, B. A. Singer, and L. D. Leavitt, Aerodynamics for